

УДК 544.47, 544.478, 542.8

DOI: 10.15372/KhUR20160106

Селективное жидкофазное гидрирование ацетилена в этилен в проточном режиме на нанесенных палладиевых катализаторах

О. О. МИРОНЕНКО, В. Л. ТЕМЕРЕВ, Н. С. СМИРНОВА, Н. Б. ШИТОВА, Д. А. ШЛЯПИН, Т. Н. АФОНАСЕНКО, П. Г. ЦЫРУЛЬНИКОВ

Институт проблем переработки углеводородов Сибирского отделения РАН,
ул. Нефтезаводская, 54, Омск 644040 (Россия)

E-mail: atnik@ihcp.ru

(Поступила 24.06.15; после доработки 11.08.15)

Аннотация

Исследован процесс жидкофазного гидрирования ацетилена до этилена в проточной установке со стационарным слоем катализатора при давлении 10 атм. В качестве растворителя использован N-метилпирролидон. Изучено влияние температуры и присутствия CO в газовом потоке на характеристики процесса селективного гидрирования ацетилена на катализаторах Pd/Al₂O₃, Pd/Сибунит. Показано, что с повышением содержания CO в газовой смеси H₂/CO растет селективность образования этилена и одновременно уменьшается содержание этана в продуктах реакции, а селективность образования олигомеров C₄₊ практически не изменяется. С повышением температуры реакции увеличивается степень превращения ацетилена, при этом соотношение между продуктами реакции изменяется незначительно. Полученные результаты свидетельствуют о том, что проведение реакции жидкофазного гидрирования ацетилена в проточном режиме под давлением 10 атм при температуре 120 °C и присутствие в газовом потоке CO в количестве 20 об. % обеспечивают высокие степень конверсии и селективность образования целевого продукта.

Ключевые слова: жидкофазное гидрирование ацетилена в этилен, давление, Pd/Al₂O₃, Pd/Сибунит

ВВЕДЕНИЕ

В настоящее время суммарный объем производства этилена в мире превысил 130 млн т/год и продолжает расти. Перспективным способом получения этилена из природного газа в масштабных количествах может стать экспериментальная технология GTL (gas-to-liquid), предложенная американской фирмой Synfuels International Inc. [1, 2]. Эта технология включает стадии окислительного пиролиза метана, абсорбции получаемого ацетилена растворителем и селективного гидрирования ацетилена в этилен. Полученный этилен используют в качестве исходного сырья для полимеризации либо подвергают олигомеризации с

получением компонентов моторных топлив – углеводородов C₆–C₁₁. Реакция гидрирования ацетилена сильно экзотермичная, поэтому для снижения взрывоопасности процесс проводят в жидкой фазе [3].

Гидрирование ацетилена и его производных в жидкой фазе на твердых катализаторах имеет много технологических достоинств и позволяет различными способами воздействовать на селективность [3, 4]. Тем не менее известные литературные данные по жидкофазному гидрированию ацетилена и технологическому оформлению установки для изучения каталитической активности скучны и представлены преимущественно патентами [4, 5]. В работах [6, 7] описан жидкофазный

процесс гидрирования ацетилена в избытке этилена на блочных катализаторах, где в качестве растворителя авторы использовали *n*-гептан. Однако, согласно патентам [5, 8], растворители с высокой емкостью по ацетилену (*N*-метилпирролидон, диметилсульфоксид, ацетон, монометиламин) более эффективны в данном процессе.

Известно [9], что оксид углерода является эффективным модификатором палладия для повышения селективности гидрирования ацетилена в этилен при осуществлении процесса в газовой фазе. Ранее авторы [10] показали, что предложенная в работе [11] трактовка закономерностей протекания газофазного гидрирования на нанесенных палладиевых катализаторах в системе C_2H_2 –CO– H_2 , основанная на факте конкурентной адсорбции CO и ацетилена на поверхностных центрах палладия, справедлива и для процессов, которые протекают в жидкой фазе. Отмечается, что с подачей CO в реакционный газовый поток, который проходит через встряхиваемый реактор, содержащий растворитель с катализатором, резко изменяется соотношение между продуктами реакции. Преимущественным направлением реакции на катализаторе Pd/Сибунит становится гидрирование ацетилена до этилена, при этом значительно снижается степень конверсии ацетилена.

Цель данной работы – изучение процесса жидкофазного гидрирования ацетилена до этилена в проточном режиме со стационарным слоем катализатора Pd/Сибунит и Pd/ γ -Al₂O₃ при повышенном давлении, а также исследование влияния условий проведения испытаний (содержание CO в газовой смеси, температура) на каталитические характеристики процесса.

ЭКСПЕРИМЕНТАЛЬНАЯ ЧАСТЬ

Приготовление катализаторов

В качестве носителей использованы оксид алюминия γ -Al₂O₃ (ЗАО “Рязанский НПК”), предварительно прокаленный при 580 °C в течение 6 ч ($S_{BET} = 196 \text{ m}^2/\text{г}$), и углерод-углеродный композит Сибунит (опытное производство ИППУ СО РАН, Омск), предварительно об-

работанный 50 % концентрированной азотной кислотой для увеличения количества кислородосодержащих функциональных групп – центров хемосорбции предшественников палладия. Удельная поверхность Сибунита примерно равна 200 $\text{m}^2/\text{г}$. Методика обработки Сибунита азотной кислотой приведена в работе [10]. Для приготовления катализаторов на основе данных носителей использована фракция 0.4–0.5 мм.

Образцы, содержащие 0.5 мас. % Pd, синтезировали пропиткой носителей водным раствором Pd(NO₃)₂ заданной концентрации. После упаривания раствора на водяной бане и осаждения предшественника палладия на носителе образцы сушили при 120 °C в течение 2 ч, затем восстанавливали в токе водорода (объемная скорость 60 мл/мин) при температуре 300 °C в течение 3 ч.

Определение дисперсности палладия

Для определения дисперсности палладия использовали метод импульсной хемосорбции CO. Хемосорбцию CO проводили после дополнительного восстановления образцов при 300 °C, выдерживая при этой температуре в течение 30 мин в токе смеси H₂–Ar, затем в токе He в течение 30 мин и далее охлаждали образец в гелии до комнатной температуры. Смесь 10 об. % CO–He импульсами по 0.5 мл через равные промежутки времени подавали в поток инертного газа-носителя (гелия). Расчет дисперсности палладия проводили с учетом стехиометрического коэффициента: CO/Pd = 1 : 1. Исходя из полученного значения дисперсности рассчитан кажущийся средний размер частиц палладия.

Каталитические испытания

Испытания проводили в проточном режиме в U-образном реакторе при следующих условиях: давление газовой смеси (C_2H_2/H_2) 10 атм; температурный интервал 55–120 °C; навеска катализатора 0.5 г (в качестве разбавителя брали кварц с размером фракции 0.4–0.5 мм, общий объем 1 мл). Исходное сырье – раствор ацетилена в *N*-метилпирролидоне с концентрацией 1.5 мас. % – на входе в реактор смешивали с газообразным

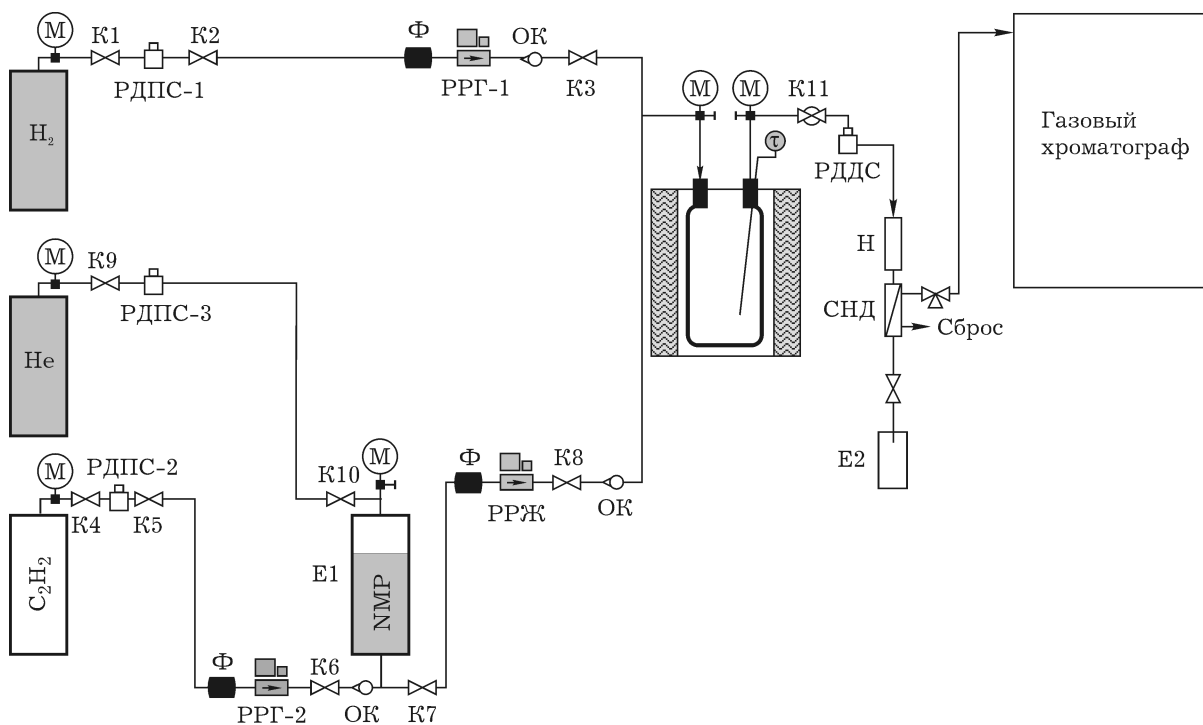


Рис. 1. Схема установки для проведения каталитических испытаний.

водородом до объемного отношения C_2H_2/H_2 , равного 1 : 3. В отдельных случаях в реакционную смесь вводили CO в различных количествах. Перед проведением каталитических испытаний образец предварительно активировали при 300 °C в токе водорода в течение 1 ч.

Принципиальная схема каталитической установки представлена на рис. 1. Блок подготовки и подачи сырья состоит из двух раздельных дозировочных узлов, обеспечивающих подачу жидкого сырья (ацетилен в N-метилпирролидоне) и газообразного водорода (или газообразной смеси H_2/CO) в реакционный объем. Газовый поток (водород или газообразная смесь H_2/CO) отбирается из стандартного баллона высокого давления через вентиль К1 с помощью регулятора давления РДПС-1. Давление газового потока контролируется по манометру, расположенному на регуляторе давления РДПС-1. Газовый поток с выхода регулятора РДПС-1 через вентиль К2 поступает на регулятор расхода РРГ-1, который обеспечивает подачу газового потока в реакторный блок с заданной скоростью (19 мл/мин). Линия подачи газового потока от регулятора РРГ-1 в реакторный блок оснащена

обратным клапаном (ОК) и отсечным вентилем КЗ. Для стабильной работы регулятора расхода РРГ-1 давление газового потока на его входе должно на 0.5–1.0 МПа превышать рабочее давление реакторного блока ($P = 10$ атм).

Исходное жидкое сырье (ацетилен в N-метилпирролидоне) находится в емкости Е1. Газообразный ацетилен поступает из стандартного баллона высокого давления через вентиль К4 с помощью регулятора давления РДПС-2. Давление потока ацетилена контролируется по манометру, расположенному на регуляторе давления РДПС-2. Через вентиль К5 поток ацетилена поступает на регулятор расхода РРГ-2, который обеспечивает подачу ацетилена путем барботажа в емкость Е1, содержащую заданное количество N-метилпирролидона, со скоростью 120 мл/ч. Давление в емкости Е1 контролируется по манометру. Линия подачи ацетилена от регулятора РРГ-2 в емкость Е1 оснащена ОК и отсечным вентилем К6. Жидкое сырье отбирается из емкости Е1 через вентиль К7. Подача жидкого сырья из емкости Е1 в реакторный блок со скоростью 29.3 мл/ч обеспечивается автоматическим регулятором расхода РРЖ. Линия

подачи жидкого сырья от регулятора РРЖ в реакторный блок оснащена ОК, отсечным вентилем К8, дренажной заглушкой.

Для проведения подготовительных операций перед началом испытаний (продувка реакционного объема стенда инертным газом, сушка катализатора в реакторе и др.) предусмотрена линия подачи инертного газа (на схеме не показана).

Для создания необходимого перепада давления на РРЖ предусмотрена подача в емкость Е1 инертного газа (гелий). Газообразный гелий отбирается из стандартного баллона высокого давления через вентиль К9 с помощью регулятора давления РДПС-3. Поток гелия с выхода регулятора РДПС-3 через вентиль К10 поступает в емкость Е1. Давление в емкости должно на 0.5–1.0 МПа превышать рабочее давление реакторного блока.

Потоки водорода и жидкого сырья поступают в реакторный блок, где расположены U-образный реактор проточного типа и печь, обеспечивающая необходимую температуру. Реактор вертикально располагается в печи. На линии выхода продуктовой смеси из реактора установлены отсечный вентиль К11 и регулятор давления РДДС. С помощью регулятора давления РДДС обеспечивается необходимый уровень давления в реакторном блоке. Давление в реакторном блоке контролируется по манометрам, подключенным на линиях входа сырья и выхода продуктовой смеси.

На выходе регулятора РДДС поток смеси, содержащей продукты реакции, дросселируется до давления, близкого к атмосферному, и поступает в сепаратор СНД через нагреватель Н, которые находятся за пределами термошкафа реакторного блока. Необходимая температура нагревателя Н и сепаратора СНД поддерживается терmostатом за счет циркуляции теплоносителя.

Газообразная часть продуктов реакции из сепаратора СНД поступает на пробоотбор и сброс в вентиляционную систему. Жидкие продукты накапливаются в нижней части сепаратора СНД и отводятся в отдельную измерительную емкость Е2.

Состав исходной реакционной смеси и смеси продуктов реакции определяли с помощью хроматографа “Хромос ГХ-1000”, снабженного капиллярной колонкой (25 м × 0.32 мм,

НФ – SiO₂, рабочая температура 60 °С) и пламенно-ионизационным детектором. В качестве газа-носителя использовали азот. Периодичность отбора пробы составляла 45 мин, общая продолжительность эксперимента – 230–250 мин.

По площадям соответствующих пиков на хроматограмме методом нормировки рассчитывали выход продуктов на поданный ацетилен $X_{C_2H_2}$ и селективность по этану, этилену и олигомерам C₄₊ (S):

$$X_{C_2H_2} = \frac{N_{C_2H_6} + N_{C_2H_4} + 2\sum N_{C_{4+}}}{N_{C_2H_6} + N_{C_2H_2} + N_{C_2H_4} + 2\sum N_{C_{4+}}} \cdot 100 \%$$

$$S_{C_2H_4} = \frac{N_{C_2H_4}}{N_{C_2H_6} + N_{C_2H_4} + 2\sum N_{C_{4+}}} \cdot 100 \%$$

$$S_{C_2H_6} = \frac{N_{C_2H_6}}{N_{C_2H_6} + N_{C_2H_4} + 2\sum N_{C_{4+}}} \cdot 100 \%$$

где N – молярные доли C₂H₂ и продуктов реакции.

Общую селективность по олигомерам C₄₊ S_{ΣC₄₊} рассчитывали по формуле

$$S_{\Sigma C_{4+}} = 100 \% - S_{C_2H_6} - S_{C_2H_4}$$

Для сравнительной оценки использовали исследуемые характеристики различных образцов в области стационарной активности катализаторов.

Выход этилена Y_{C₂H₄} рассчитан по формуле

$$Y_{C_2H_4} = X_{C_2H_2} S_{C_2H_4} / 100 \%$$

РЕЗУЛЬТАТЫ И ОБСУЖДЕНИЕ

Дисперсность частиц палладия, определенная по хемосорбции CO, для катализаторов 0.5 % Pd/Сибунит и 0.5 % Pd/Al₂O₃ составила 21 и 11 % соответственно, а кажущийся средний размер частиц – 6.2 и 10 нм соответственно.

Влияние содержания CO

На рис. 2 представлены результаты катализических испытаний образцов при 55 °С. Выбор температуры для проведения жидкоквазового гидрирования ацетилена в проточном режиме под давлением изначально обусловлен тем, что в предшествующих [12] испытаниях во встряхиваемом безградиентном проточном термостатированном реакторе при атмосферном давлении температура 55 °С со-

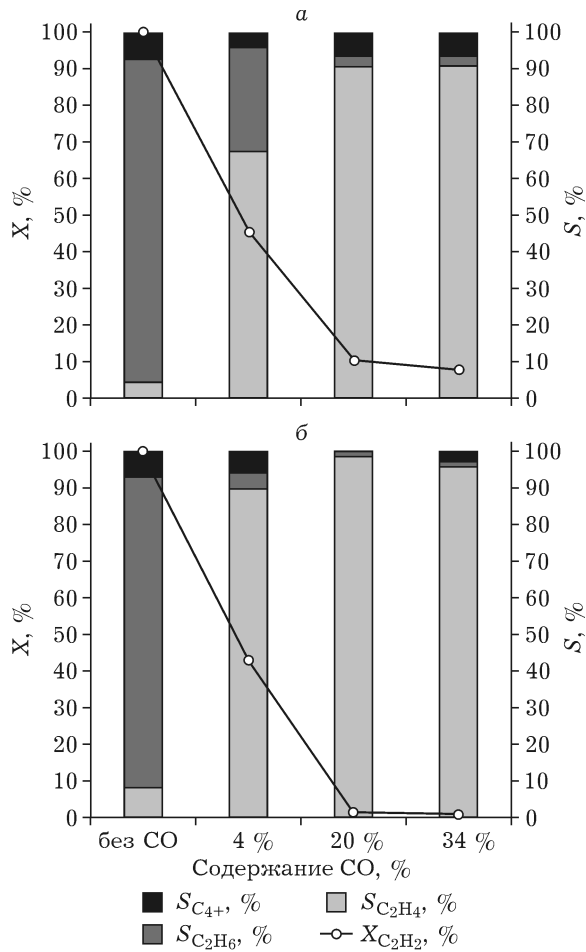


Рис. 2. Выход (X) и селективность образования (S) продуктов для образцов 0.5 % Pd/Сибунит (а) и 0.5 % Pd/ Al_2O_3 (б) при температуре реакции 55 °C, без СО и в присутствии СО.

ответствовала кинетической области протекания процесса. Состав реакционной смеси, указанный выше, выбран в соответствии с условиями, приведенными в [1]. Как видно, в этих условиях (без добавления СО в газовую смесь) степень конверсии для обоих катализаторов достигает 99–100 %. При этом селективность образования целевого продукта – этилена – низкая и составляет 5 и 9 % для катализаторов 0.5 % Pd/Сибунит и 0.5 % Pd/ Al_2O_3 соответственно. Основной продукт реакции – этан ($S_{\text{C}_2\text{H}_6} = 88$ и 84 % соответственно), который образуется в результате побочной реакции полного гидрирования этилена. Данный факт можно объяснить различием в значениях теплоты адсорбции ацетилена и этилена на Pd-центрах. Согласно [3], ацетилен подавляет адсорбцию этилена и вытесняет его с поверх-

ности катализатора. Можно предположить, что при 100 % степени конверсии ацетилена время жизни образующегося этилена на Pd-центрах в отсутствии конкурента (ацетилена) резко возрастает и этилен подвергается дальнейшему гидрированию до этана. Кроме того, продуктами реакции являются углеводороды C_{4+} – бутан и бутены, образующиеся в результате гидроолигомеризации ацетилена. Для обоих катализаторов селективность по C_{4+} составляет 7 %.

Для повышения селективности образования этилена в реакционную смесь ввели СО. На рис. 2 показано влияние содержания СО в газовой смеси H_2/CO на катализитические характеристики процесса. Видно (см. рис. 2, а), что в случае образца 0.5 % Pd/Сибунит добавление 4 об. % СО в поток водорода приводит к снижению степени конверсии ацетилена со 100 до 43 % при одновременном увеличении селективности по этилену с 4 до 66 %. При содержании СО в H_2 , равном 20 %, активность продолжает снижаться: $X_{\text{C}_2\text{H}_2} = 10$ %, а селективность по этилену $S_{\text{C}_2\text{H}_4}$ достигает 91 %. Рост селективности по этилену отмечается при одновременном уменьшении содержания этана в продуктах реакции, в то время как селективность образования C_{4+} практически не изменяется. Увеличение содержания СО в газовой смеси H_2/CO до 34 об. % не оказывает существенного влияния на распределение продуктов и степень конверсии C_2H_2 .

В случае образца 0.5 % Pd/ Al_2O_3 присутствие СО оказывает более существенное влияние (см. рис. 2, б). Добавление уже 4 % СО в поток H_2 вызывает резкое увеличение селективности по этилену с 9 до 90 %, при этом степень конверсии C_2H_2 достигает 41 %. Дальнейшее увеличение содержания СО в H_2 подавляет конверсию C_2H_2 : ее значение составляет лишь 1–2 % с преимущественным образованием этилена ($S_{\text{C}_2\text{H}_4} = 96$ –99 %).

Таким образом, на примере двух катализитических систем показано, что при осуществлении реакции жидкофазного гидрирования ацетилена в проточном режиме под давлением добавление СО в поток H_2 в количестве 20 об. % достаточно для достижения высокой селективности образования этилена. Степень конверсии ацетилена при этом низкая, но может быть увеличена за счет повышения температуры реакции.

Влияние температуры реакции

Зависимость катализитических свойств образцов 0.5 % Pd/Сибунит и 0.5 % Pd/ Al_2O_3 от температуры реакции в присутствии 20 об. % CO представлена на рис. 3. Видно, что с ростом температуры реакции от 55 до 105 °C их катализитическая активность резко возрастает. При дальнейшем повышении температуры реакции до 120 °C рост степени превращения ацетилена замедляется (см. рис. 3). Максимальное значение $X_{\text{C}_2\text{H}_2}$ для катализатора 0.5 % Pd/Сибунит составляет 99 %, в то время как для 0.5 % Pd/ Al_2O_3 – 91 %. Относительную продукты реакции следует отметить, что с ростом конверсии ацетилена селективность образования этилена существенно не изменяется, и хотя наблюдается слабая тенденция к снижению, она по-прежнему остается

высокой. Так, при 120 °C для 0.5 % Pd/Сибунит величина $S_{\text{C}_2\text{H}_4}$ = 83 %, а для 0.5 % Pd/ Al_2O_3 – 90 % против 91 и 99 % соответственно при 55 °C. Благодаря присутствию CO в реакционной смеси селективность образования этилена низкая. Однако с повышением температуры реакции от 55 до 120 °C значение $S_{\text{C}_2\text{H}_6}$ для 0.5 % Pd/Сибунит увеличивается с 3 до 12 %, а для 0.5 % Pd/ Al_2O_3 – с 1 до 4 % соответственно.

Можно заключить, что повышение температуры реакции с 55 до 120 °C в присутствии 20 % CO не приводит к значимым изменениям в соотношении между продуктами реакции. Это обеспечивает высокую степень конверсии ацетилена на Pd-катализаторах при сохранении высокой селективности образования целевого продукта.

В случае проведения реакции в присутствии 20 % CO при 120 °C на катализаторах 0.5 % Pd/Сибунит и 0.5 % Pd/ Al_2O_3 выход этилена достигает 82 %.

ЗАКЛЮЧЕНИЕ

Согласно полученным результатам, проведение реакции жидкофазного гидрирования ацетилена в проточном режиме под давлением 10 atm на разных по природе катализаторах – углерод-углеродном композите Сибунит и $\gamma\text{-Al}_2\text{O}_3$ – при температуре 120 °C в газовом потоке 20 об. % CO позволяет достичь высоких степени конверсии и селективности образования целевого продукта – этилена. Дальнейшее повышение эффективности процесса может быть связано как с модификацией катализаторов, так и с изменением условий проведения реакции.

СПИСОК ЛИТЕРАТУРЫ

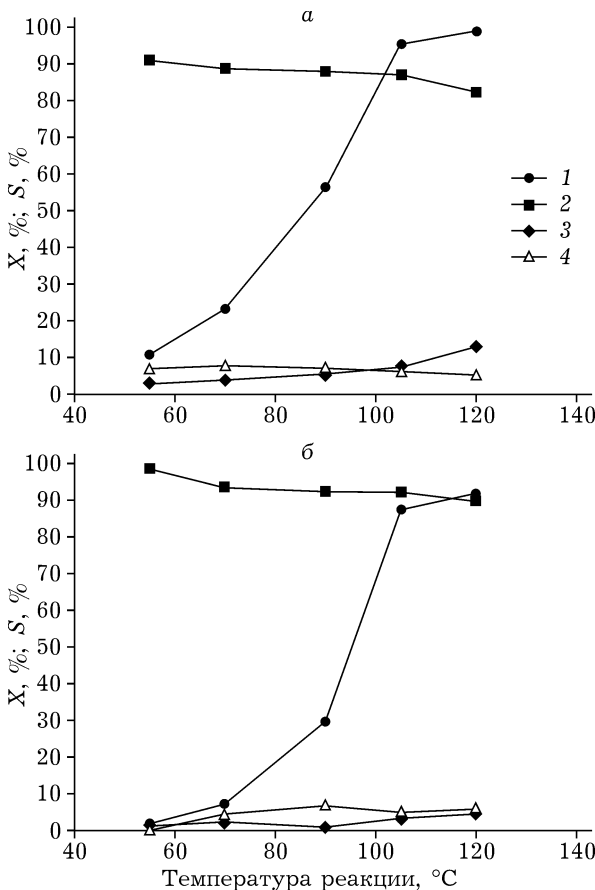


Рис. 3. Зависимость катализитических свойств образцов 0.5 % Pd/Сибунит (а) и 0.5 % Pd/ Al_2O_3 (б) от температуры реакции в присутствии 20 об. % CO в газовом потоке.

1 US Pat. No. 0021638A1, 2007.

2 Официальный сайт Synfuels Int. Inc. 2008.

URL: <http://www.synfuels.com>. Дата обращения 15.04.2015.

3 Темкин О. Н., Шестаков Г. К., Трегер Ю. А. Ацетилен – химия, механизмы реакций, технология. М.: Химия, 1991. С. 416.

4 US Pat. No. 7692051 B2, 2010.

5 US Pat. No. 0217781A1, 2011.

- 6 Edvinsson R. K., Holmgren A. M., Irandoost S. // Ind. Eng. Chem. Res. 1995. Vol. 34, No. 1. P. 94.
- 7 Asplund S., Fornell C., Holmgren A., Irandoost S. // Catal. Today. 1995. Vol. 24, No. 12. P. 181.
- 8 US Pat. No. 0191655A1, 2007.
- 9 Cider L., Schoon N. H. // Appl. Catal. 1991. Vol. 68. P. 191.
- 10 Шитова Н. Б., Шляпин Д. А., Афонасенко Т. Н., Кудря Е. Н., Цырульников П. Г., Лихолобов В. А. // Кинетика и катализ. 2011. Т. 52, № 2. С. 259.
- 11 Borodzinski A., Bond G. C. // Catal. Rev. 2008. Vol. 50. P. 379.
- 12 Smirnova N. S., Shlyapin D. A., Shitova N. B., Kochubey D. I., Tsyrul'nikov P. G. // J. Mol. Catal. A: Chem. 2015. Vol. 403. P. 10.